

В. С. НИКОЛАЕВ, В. С. СЕНАШЕНКО, В. Ю. ШАФЕР

ВЛИЯНИЕ СТРУКТУРЫ СВЯЗАННОГО СОСТОЯНИЯ ЭЛЕКТРОНА НА СЕЧЕНИЕ ИОНИЗАЦИИ В АТОМНЫХ СТОЛКНОВЕНИЯХ

В нерелятивистском борновском приближении рассчитаны и сравнены между собой сечения потери $1s$ -, $2s$ - и $2p$ - электронов различными водородоподобными ионами при столкновении их с атомами водорода и гелия и атомными ядрами. Исследуется зависимость этих сечений от структуры волновой функции связанного состояния электрона. Сравняются теоретические и экспериментальные результаты.

Ранее [1, 2] для установления основных закономерностей в сечениях ионизации при атомных столкновениях были рассчитаны и проанализированы сечения потери $1s$ -электрона различными водородоподобными ионами в водороде, гелии и азоте. В настоящей работе для выяснения влияния структуры начального состояния электрона на сечение ионизации вычислены сечения потери $2s$ - и $2p$ -электронов различными водородоподобными ионами при соударении их с атомами водорода и гелия и атомными ядрами. Полученные сечения сравниваются с сечениями потери $1s$ -электрона. Производится также сравнение теоретических сечений с экспериментом.

Расчет, как и прежде, был выполнен в нерелятивистском борновском приближении для широкого интервала относительных скоростей v сталкивающихся частиц. Начальное и конечное состояния удаляемого электрона описывались кулоновскими волновыми функциями в поле заряда Ze ядра иона.

Формулы для сечений

Полное сечение потери электрона из любого состояния водородоподобной частицы при соударении с атомами может быть представлено (см. [1]) в виде суммы двух слагаемых:

$$\sigma_j = \sigma_j^{(y)} + \sigma_j^{(ny)}, \quad (1)$$

где $\sigma_j^{(y)}$ — есть сечение потери электрона в псевдоупругих столкновениях с атомами среды, в результате которых состояние последних не изменяется, а $\sigma_j^{(ny)}$ — сечение потери электрона в столкновениях, сопровождающихся возбуждением или ионизацией атомов среды. При этом для $\sigma_j^{(y)}$ получим

$$\sigma_j^{(\psi)} = 8\pi a_0^2 Z_c^2 \left(\frac{n^2}{Z^2 s} \right)^2 \int_{1/2s}^{\infty} (1-F)^2 \frac{dq}{q^3} \int_0^{(2qs-1)^{1/2}} \varepsilon_j^2(q, k) dk, \quad (2)$$

где

$$s = v_n/Zv_0, \quad q = Qna_0/Z, \quad k = Kna_0/Z.$$

Здесь n — главное квантовое число начального состояния, $a_0 = \hbar^2/\mu e^2$ и $v_0 = e^2/\hbar$ — атомные единицы длины и скорости, $Z_c e$ — заряд ядер атомов среды, $\hbar \vec{Q}$ — изменение импульса иона при столкновении, \vec{K} — волновой вектор удаленного электрона относительно ядра иона, F — форм-фактор атома среды (для атомов водорода и гелия $F = [1 + (Zq/2nZ_c^*)^2]^{-2}$ при $Z_c^* = 1$ и 1,688 соответственно), $\varepsilon_j^2(q, k)$ — квадрат модуля матричного элемента перехода электрона из связанного состояния j в состояние непрерывного спектра с волновым вектором \vec{K} , проинтегрированный по всем \vec{K} с заданным значением $|\vec{K}|$ [1].

Выражения для ε_{2s}^2 , ε_{2p}^2 , а также $\varepsilon_L^2 = (\varepsilon_{2s}^2 + 3\varepsilon_{2p}^2)/4$ приведены в приложении. При этом ε_{2p}^2 есть среднее от ε_j^2 по всем состояниям $2p$ с различными проекциями орбитального момента. Выражения для ε_{2s}^2 и ε_{2p}^2 существенно отличаются от полученных Канделуолом и Мерзбахером [3], но согласуются с формулами, приведенными в работе [4]. При $q \sim k \gg 1$ формулы Канделуола и Мерзбахера дают ошибочные значения ε_{2s}^2 и ε_{2p}^2 , вследствие чего при $q \gg 1$ величина интеграла $J_j(q, \infty) = \int_0^{\infty} \varepsilon_j^2(q, k) dk$ существенно отличается от правильного асимптотического значения, равного единице. В связи с этим формулы для ε_{2s}^2 и ε_{2p}^2 были получены нами заново [5].

Для $\sigma_j^{(\text{ну})}$ имеем

$$\sigma_j^{(\text{ну})} = 8\pi a_0^2 Z_c \left(\frac{n^2}{Z^2 s} \right)^2 \int_{q_{\min}}^{\infty} (1-F^2) \frac{dq}{q^3} \int_0^{k_{\max}} \varepsilon_j^2(q, k) dk, \quad (3)$$

где $k_{\max} = (2qs - 1 - n^2 \bar{u}_c^2/Z^2)^{1/2}$, а q_{\min} определяется из условия $k_{\max} = 0$; \bar{u}_c^2 — средняя энергия, затрачиваемая на возбуждение и ионизацию атомов среды в единицах $I_0 = \mu v^2/2 = 13,6 \text{ эВ}$.

В соответствии с выводами работы [1], при $s \geq 3$ имеем $\bar{u}_c^2 = u_c^2 + q^2 Z^2/u^2$, где u_c^2 — энергия связи электрона в атомах среды. При $s = 1 \div 2$ величина \bar{u}_c^2 должна зависеть от отношения Z/n к Z_c^* , поэтому при $s < 3$ вместо использованного в [1] соотношения $\bar{u}_c^2 = 0,7 Z_c^* + Z^2$ полагаем

$$\bar{u}_c^2 = u_c^2 + Z^2/n^2 Z_c^{*2}.$$

Такой выбор u_c^2 приводит к лучшему согласию между сечениями $\sigma_{1s}^{(\text{ну})}$, вычисленными по формуле (3) и полученными более корректно [6—8] путем суммирования вычисленных порознь сечений потери электрона с переходом атомов среды в определенное возбужденное состояние. При этом в области $s \geq 1$ для случаев потери электрона ионами He^+ в водороде и атомами H в гелии разница между значениями $\sigma_{1s}^{(\text{ну})}$, вычисленными по формуле (3) и полученными путем суммирования

парциальных сечений, не превышает 5%, и только в случае потери электрона атомами Н в водороде при $s=1,5 \div 3$ эта разница достигает $15 \div 25\%$. Различие между соответствующими полными сечениями потери электрона в этом последнем случае не превышает 10—15%. Расчет $\sigma_j^{(ny)}$ при $s < 1$ с точки зрения получения полных сечений не представляет интереса, так как в этой области скоростей $\sigma_j^{(ny)} \ll \sigma_j^{(y)}$.

В предельном случае $Z/n \gg 1$, когда можно считать, что $F(q) = 0$ и $u_c^2 n^2 / Z^2 = 0$, формула (2) переходит в формулу борновского приближения для сечения ионизации водородоподобной частицы атомными ядрами с зарядом $Z_c e$. Выражение для $(1/Z_c) \sigma_j^{(ny)}$, получающееся из (3) при $\bar{u}_c^2 = u_c^2 + q^2 Z^2 / n^2$, совпадает с формулой для сечения ионизации частицы электронным ударом (без учета обмена) [9].

Используя методику, описанную в работе [1], из (1)—(3) можно получить простые приближенные формулы для сечений ионизации при малых и больших скоростях. В области $s \leq 0,05$ при $s < Z/6nZ_c^*$, когда значения $(1-F)^2$ близки к единице, сечения ионизации нейтральными частицами и атомными ядрами одинаковы:

$$\sigma_j = b_j \frac{2^{19}}{45} \pi a_0^2 Z_c^2 (n/Z)^4 s^{8+2l}, \quad (4)$$

где $b_{1s} = 1$; $b_{2s} = 8$; $b_{2p} = 4(45/44)$; l — орбитальное квантовое число состояния j .

В области $s > 2$ сечение ионизации существенным образом зависит от предельных значений интеграла $J_j(q, k') = \int_0^{k'} \epsilon_j^2(q, k) dk$ при $k' \rightarrow \infty$ [1].

Для любых состояний j , как нетрудно видеть [10], имеем $J_j(q, \infty) = 1$ при $q \gg 1$ и $J_j(q, \infty) = C_j q^2$ при $q \ll 1$, причем $C_{1s} = 0,28$; $C_{2s} = 0,21$ и $C_{2p} = 0,13$. В связи с этим при $s > 2$ для любых состояний j имеем

$$\sigma_j^{(y)} = 8\pi a_0^2 Z_c^2 \left(\frac{n^2}{Z^2 s} \right)^2 \left\{ C_j \int_{5/8s}^{a_j} (1-F)^2 \frac{dq}{q} + \int_{a_j}^{2s} (1-F)^2 \frac{dq}{q^3} \right\}, \quad (5)$$

$$\sigma_j^{(ny)} = 8\pi a_0^2 Z_c^2 \left(\frac{n^2}{Z^2 s} \right)^2 \left\{ C_j \int_{q'}^{a_j'} (1-F^2) \frac{dq}{q} \int_{a_j'}^s (1-F^2) \frac{dq}{q^3} \right\}, \quad (6)$$

где

$$a_j \approx a_j' \approx 1, \quad q' = (5/4 + n^2 \bar{u}_c^2 / Z^2) / 2s.$$

Учитывая далее поведение функции $F(q)$, из (5) и (6) получаем

$$\sigma_j^{(y)} = 4\pi a_0^2 \frac{Z_c^2}{s^2} \left(\frac{n}{Z} \right)^4 \left(D_j - \frac{1}{4s^2} \right), \quad (7)$$

$$\sigma_j^{(ny)} = 4\pi a_0^2 \frac{Z_c}{s^2} \left(\frac{n}{Z} \right)^4 \left(D_j' - \frac{1}{s^2} \right), \quad (8)$$

причем для $Z/n \leq \frac{3}{4} Z_c^*$, $\frac{3}{4} Z_c^* \leq Z/n \leq 4Z_c^*$ и $Z/n > 4Z_c^*$ имеем соответственно

$$D_j = \frac{(Z/n)^2}{2Z_c^{*2}}, \quad D_j = \frac{3(Z/n)}{8Z_c^*} \quad \text{и} \quad D_j = B_j + 2C_j \ln A,$$

а для $\frac{1}{4} Z_c^* \leq Z/n \leq \frac{3}{2} Z_c^*$ и $Z/n > \frac{3}{2} Z_c^*$ имеем соответственно

$$D'_j = \frac{7(Z/n)}{8Z_c^*} \quad \text{и} \quad D'_j = B'_j + 2C_j \ln A',$$

где

$$A = \min \{1, 6s; (Z/n)/2Z_c^*\}, \quad A' = \min \{2s/(5/4 + \bar{u}_c^2 n^2/Z^2) \cdot (Z/n)/Z_c^*\}$$

и $B_j \sim B'_j \sim 1$.

В области $s \geq 3$ при выполнении условия $s \geq 2Z_c^* n/Z$ формулы (7) и (8) дают сечения, отличающиеся от вычисленных по формулам (2) и (3) не более чем на 15%. При этом можно считать, что $B_{1s} = B_{2s} = 1$, $B_{2p} = 1,3$ и $B'_j = B_j$.

Формулы (7) и (8) являются обобщением известной формулы Бете для сечения выбивания быстрыми заряженными частицами $1s$ -электрона [11] на случай потери электрона из любого состояния j в соударениях с нейтральными атомами. (Ионизация атомными ядрами и электронами содержится в (7) и (8) в виде предельного случая $Z/n \gg 1$.)

Результаты расчетов и их анализ

По формулам (1) и (3) были вычислены сечения потери электрона из состояний $2s$, $2p$ и $1s$ водородоподобных ионов с Z/n от $1/2$ до 30

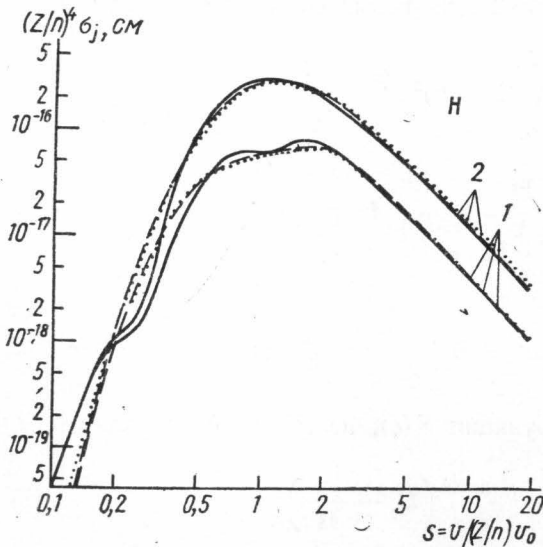


Рис. 1. Значения $(Z/n)^4 \sigma_j$ для водородоподобных ионов с $Z/n=1$ (1) и $Z/n=10$ (2) в атомарном водороде в зависимости от $s=v/(Z/n)v_0$. Сплошные линии — для состояния $2s$, пунктирные — $2p$, точечные — $1s$

при соударении их с атомами водорода и гелия и атомными ядрами. Типичные зависимости полученных значений $(Z/n)^4 \sigma_j$ от s представлены на рис. 1. Точечные кривые показывают отношения сечений потери электронов ионами в соударениях с атомными ядрами. $\sigma_L = (\sigma_{2s} + \sigma_{2p} + 3\sigma_{2p})/4$ есть среднее сечение потери L -электрона. На рис. 2 даны отношения сечений потери $2s$ и $2p$ -электронов к сечению потери $1s$ -электрона с той же энергией связи. Из рисунков видно, что значительная разница между рассматриваемыми сечениями имеется только при $s < 1/2$, т. е. в области медленных столкновений; в области же $s > 1/2$ эти сечения различаются не более чем на 25%.

При $s < 1/2$ основной вклад в ионизацию вносят псевдоупругие столкновения с передачей импульса $q \gg 1/2s > 1$ и образованием мед-

ленного свободного электрона. Поэтому сечение ионизации определяется в основном значениями $\varepsilon_j^2(q, k)$ при $k \ll 1$. Если конечное состояние электрона описывать плоской волной, то $\varepsilon_j^2(q, 0)$ с точностью до множителя совпадает с квадратом модуля волновой функции начального состояния электрона в импульсном представлении $|\Phi_j(p)|^2_{p=q}$, где p — импульс электрона в единицах $\mu v_0 Z/n$. Наиболее характерные черты импульсного распределения сохраняются в функции $\varepsilon_j^2(q, k)$ для $k \ll 1$ и при использовании кулоновской волновой функции конеч-

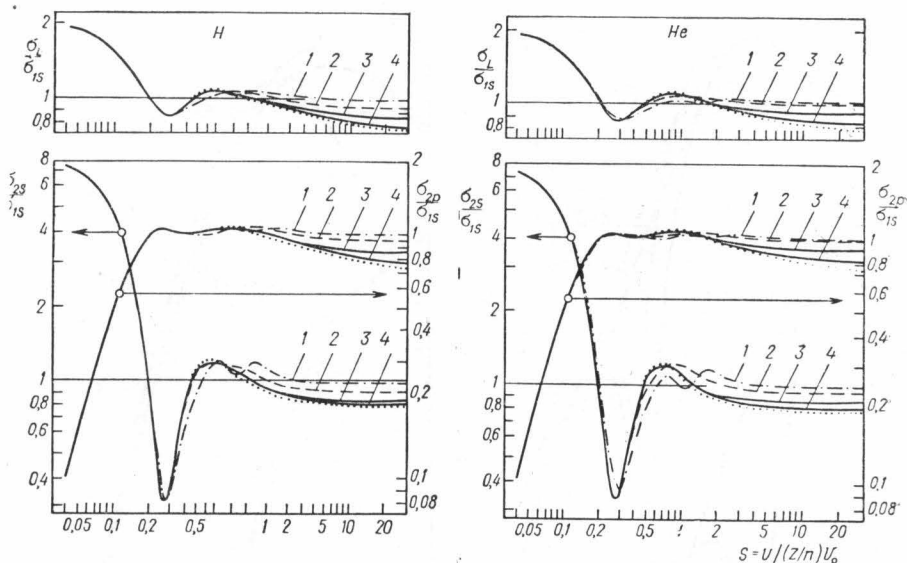


Рис. 2. Отношение сечений потери электрона из различных состояний с одинаковой энергией связи в атомарном водороде и гелии 1 — $Z/n=1$, 2 — $Z/n=3$ и 3 — $Z/n=10$, 4 — $Z/n=30$

ного состояния (рис. 3). Поэтому соотношение между сечениями потери электрона из различных состояний при малых s повторяет качественные особенности в соотношении между распределениями импульсов электронов в этих состояниях. Так, в 4 раза большим по сравнению с $|\Phi_{1s}(p)|^2$ значениям $|\Phi_{2s}(p)|^2$ при $p > 5$ соответствуют в 8 раз большие по сравнению с σ_{1s} значения σ_{2s} при $s < 0,05$. Благодаря минимуму в $|\Phi_{2s}(p)|^2$ при $p=1$ и большим значениям $|\Phi_{2s}(p)|^2$ при $p < 0,6$ отношение σ_{2s}/σ_{1s} при $s \sim 0,3$ понижается до 0,34, а при $s \sim 0,7$ снова увеличивается до 1,2. Более быстрое уменьшение $|\Phi_{2p}(p)|^2$ по сравнению с $|\Phi_{1s}(p)|^2$ при увеличении p в области $p \gtrsim 2$ ведет к более сильной зависимости σ_{2p} от скорости при $s < 0,2$, а соотношению $|\Phi_{2p}(p)|^2 > |\Phi_{1s}(p)|^2$ при $p \sim 1$ соответствует соотношение $\sigma_{2p} > \sigma_{1s}$ при $s \sim 0,3$.

Подобным же образом ведут себя в области $s < 3$ и величины $\sigma_j^{(ny)}$, вычисляемые по формуле (3) с $\bar{u}_c^2 = u_c^2 + Z^2/n^2 Z_c^{*2}$. Зависимость отношений $\sigma_j^{(ny)}/\sigma_{1s}^{(ny)}$ от s при $s < 3$ имеет качественно такой же вид, что и зависимость $\sigma_j^{(y)}/\sigma_{1s}^{(y)}$ от s , только со сдвигом всей кривой [в сторону больших скоростей]. Этот сдвиг вызван присутствием дополнительного члена $\bar{u}_c^2 n^2 / Z^2$ в выражении для k_{\max} и оказывается тем больше, чем меньше величина Z/n . На поведение полных сечений эти особенности в $\sigma_j^{(ny)}$ практически не влияют, поскольку при малых скоростях $\sigma_j^{(ny)} \ll \sigma_j^{(y)}$. Только для ионов с

$Z/n < Z_c$ наличие при $s \sim 1$ минимума в величине $\sigma_{2s}^{(ny)}/\sigma_{1s}^{(ny)}$ и максимума в величине $\sigma_{2p}^{(ny)}/\sigma_{1s}^{(ny)}$ (которые соответствуют аналогичным экстремумам в отношениях $\sigma_{2s}^{(y)}/\sigma_{1s}^{(y)}$ и $\sigma_{2p}^{(y)}/\sigma_{1s}^{(y)}$ при $s \approx 0,3$) приводит к образованию небольших дополнительных минимумов и максимумов в отношениях σ_{2s}/σ_{1s} и σ_{2p}/σ_{1s} при $s \approx 1$.

Необходимо отметить, что в величине $\sigma_j^{(ny)}$, вычисленной по формуле (3) с $\bar{u}_c^2 = u_c^2 + q^2 Z^2/n^2$, так же как и в сечении ионизации под

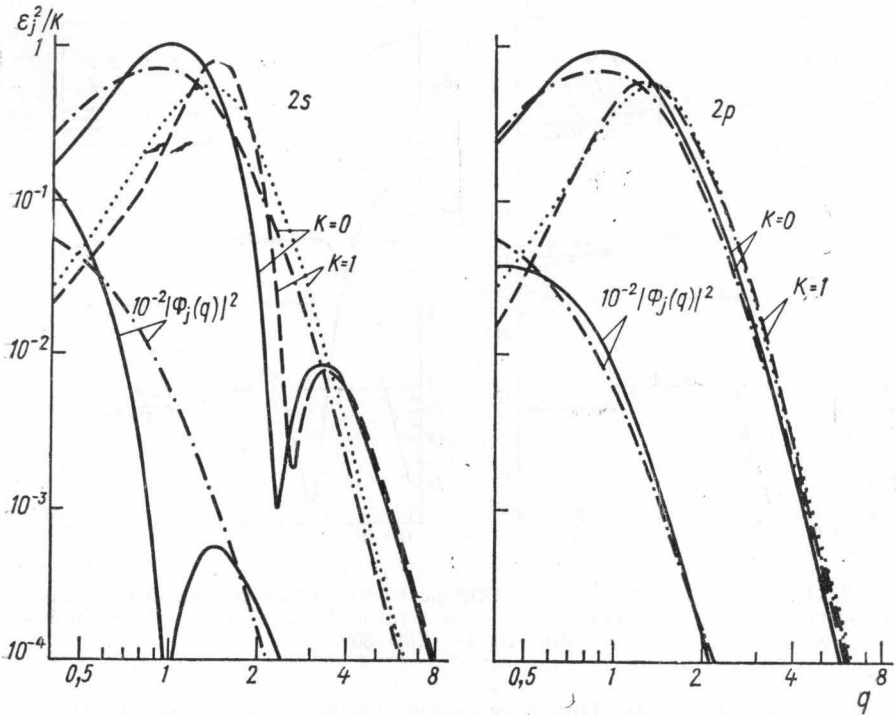


Рис. 3. Значения $\epsilon_j^2(q, k)/k$ и $10^{-2}|\Phi_j(q)|^2$ для 2s- и 2p-электронов (сплошные и пунктирные линии) в зависимости от q , штрих-пунктирными и точечными линиями изображены аналогичные величины для 1s-электронов

действием электронов, из-за совершенно другой зависимости области допустимых значений q и k от s , аналогичной корреляции между характерными чертами импульсного распределения электронов и сечениями ионизации не наблюдается.

При высоких скоростях ($s \gg 3$) для ионов с большими Z существенное значение приобретают далекие столкновения с передачей малого импульса ($q < 1$). Вероятность ионизации в таких соударениях, как видно из (5)–(6), пропорциональна величине C_j , которая представляет собой интеграл по всем \vec{k} от квадрата модуля матричного элемента оператора дипольного момента для перехода электрона из состояния j в состояние непрерывного спектра с волновым вектором \vec{k} . Поскольку $C_{2p} < C_{2s} < C_{1s}$, то при $s \gg 2$ для ионов с большими Z отношения σ_{2s}/σ_{1s} и σ_{2p}/σ_{1s} становятся меньше единицы. В частности, при $s=30$ для $Z/n=30$ значения σ_{2s}/σ_{1s} и σ_{2p}/σ_{1s} приближаются к 0,8. Для ионов

с $Z/n \leq 2Z_c^*$ вследствие сильной экранировки кулоновского поля ядер атомов среды атомными электронами роль далеких столкновений понижается и отношения σ_{2s}/σ_{1s} и σ_{2p}/σ_{1s} становятся близкими к единице. В области $s < 1$ экранировка кулоновского поля ядер атомов среды приводит к некоторому смещению кривой зависимости σ_j/σ_{1s} от s в сторону больших скоростей при $s \geq Z/3nZ_c^*$.

Сравнение с экспериментом

Выполненные расчеты непосредственно приложимы к случаям ионизации атомных частиц с находящимися в L -оболочке внешними электронами, когда начальные и конечные состояния удаляемых электронов достаточно хорошо описываются кулоновскими волновыми

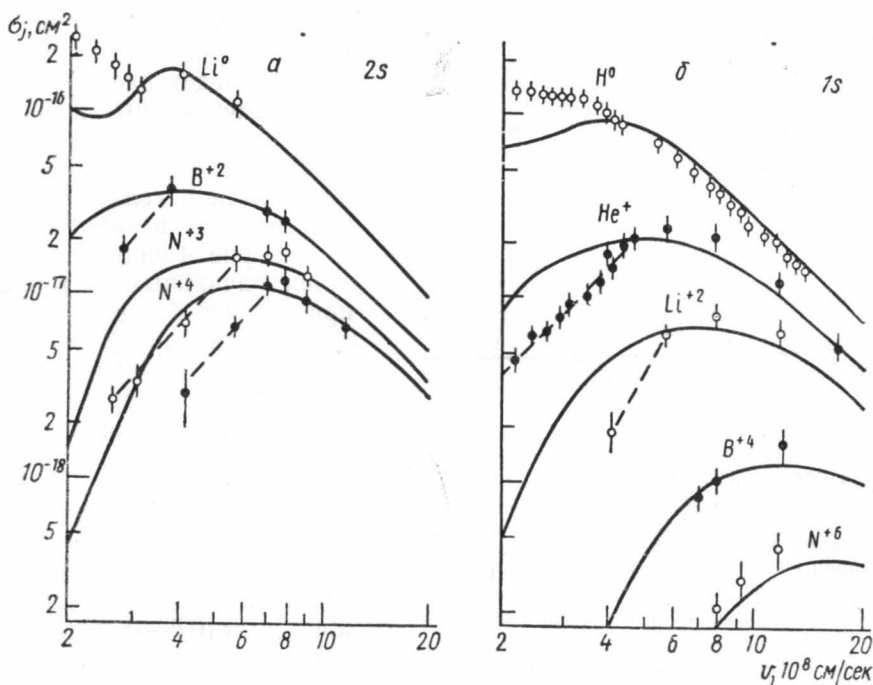


Рис. 4. Сечения потери 2s- и 1s-электрона различными ионами в гелии. Линии — результат расчетов в борновском приближении, точки — экспериментальные данные

функциями. Это условие выполняется тем лучше, чем больше заряд ядра ионов Z и меньше число электронов в L -оболочке. При этом близость начального состояния к водородоподобному можно оценивать по величине $\theta_j = I_j / (Z_j/n) I_0$, где I_j — фактическая энергия связи электрона, а Z_j — входящий в кулоновскую функцию эффективный заряд ядер ионов, для определения которого существует ряд способов [12—14]. (Для водородоподобных ионов $\theta_j = 1$.)

Экспериментальные и вычисленные значения σ_{2s} в гелии для ионов Li^0 , B^{+2} , N^{+3} и N^{+4} , у которых известны экспериментальные сечения потери электронов и в то же время величины θ_j , при значениях Z_j , определенных различными способами [12—14], отличаются от единицы не более чем на 20% (рис. 4, а). Теоретические сечения соответствуют

значениям $Z_j/n = \sqrt{I_j/I_0}$, которые для указанных ионов равны 0,63; 1,66; 2,38 и 2,68. Экспериментальные сечения σ_{2s} определены по формуле (9), учитывающей, что в реальном эксперименте возможна двукратная ионизация частиц и потеря ими 1s-электронов:

$$\sigma_{2s} = \frac{1}{N_{2s}} (\sigma_{i,i+1} + 2\sigma_{i,i+2} - 2\sigma_{1s}). \quad (9)$$

Здесь N_{2s} — число 2s-электронов в ионе, а $\sigma_{i,i+1}$ и $\sigma_{i,i+2}$ — экспериментальные сечения потери одного и двух электронов, которые брались из работы [15]. Для рассматриваемых случаев сечения σ_{2s} , найденные по формуле (9), отличаются от величины $\sigma_{i,i+1}/N_{2s}$ не более чем на 10%.

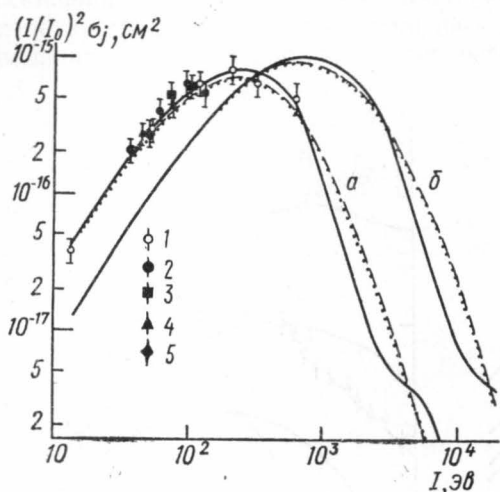


Рис. 5. Сечения потери 2s-, 2p- и 1s-электрона различными ионами в гелии в зависимости от энергии связи электронов: а — $v = 8 \cdot 10^8$, б — $v = 12 \cdot 10^8$ см/сек. Кривыми представлены теоретические результаты, точками — экспериментальные данные при $v = 8 \cdot 10^8$ см/сек. Сплошные линии — 2s, пунктир — 2p, точечные — 1s. 1 — σ_1 для водородоподобных ионов, 2 — σ_2 для литиеподобных, 3 — σ_2 для бериллие-подобных частиц, 4 — для бороподобных; 5 — для углеродоподобных ионов

сечения в 2 раза соответственно выше или ниже вычисленных.

Вопрос о границах применимости борновского приближения при расчете сечений ионизации в соударениях с нейтральными атомами рассматривался ранее [1] для начального состояния 1s. Аналогичное рассмотрение для состояний с $n > 1$ показывает, что для различных состояний с одинаковыми значениями Z_j/n борновское приближение должно быть справедливым примерно в одной и той же области скоростей, а именно: для ионов с $Z_j/n \approx Z_c$ при $v \geq 2Z_c v_0$, а для ионов с $Z_j/n \gg Z_c$ при $v \geq 0,2(Z_j/n)v_0$. Сравнение экспериментальных и вычисленных сечений потери 1s- и 2s-электронов, как видно из предыдущего, подтверждает этот вывод.

Отношение экспериментальных сечений σ_{2s}/σ_{1s} (при близких значениях Z_j/n) совпадает с борновским при всех скоростях $v > v_0$, в том числе и в той области v , где абсолютные значения экспериментальных сечений существенно отличаются от борновских. Полученная в настоящей работе очень слабая зависимость отношений σ_j/σ_{1s} от Z_c тоже сохраняется и за пределами применимости борновского приближения:

работы [15]. Для рассматриваемых случаев сечения σ_{2s} , найденные по формуле (9), отличаются от величины $\sigma_{i,i+1}/N_{2s}$ не более чем на 10%. На рис. 4, б для сравнения представлены также экспериментальные и теоретические сечения потери 1s-электрона водородоподобными ионами в гелии, приведенные ранее в работе [1].

Из рис. 4 видно, что для обоих начальных состояний при $Z_j/n \leq Z_c$ в области $v \geq Z_c v_0$, а при $Z_j/n = (1 \div 1,5)Z_c$ в области $v \geq (Z_j/n)v_0$ экспериментальные и теоретические сечения различаются не более чем на 20%, т. е. на величину порядка ошибок опыта. При меньших скоростях, а именно: при $v \approx (0,5-0,7)Z_c v_0$ для ионов с $Z_j/n \leq 0,5 Z_c$ и при $v \approx (0,5-0,7)(Z_j/n)v_0$ для ионов с $Z_j/n \approx (0,7-1,5)Z_c$ экспериментальные

для ионов с близкими значениями I_j при $v \sim (1-5)v_0$ отношения σ_j/σ_{4s} в гелии, азоте, аргоне и криптоне [15] оказываются практически одинаковыми.

Все известные при $v > v_0$ экспериментальные сечения потери электронов из состояний с $n=2$ относятся к области $s > 1/2$ и отличаются от экспериментальных сечений потери $1s$ -электрона с той же энергией связи не более чем на 20% [15—16] (рис. 5). Результаты настоящего расчета, создавая теоретическую основу для объяснения этого явления, показывают в то же время, что для ионов с достаточно большой энергией связи электронов, а именно при $I_j > 50(v/v_0)^2$ эВ следует ожидать значительной разницы в сечениях потери электрона из различных состояний.

Приложение

$$\int_{\Omega_{\vec{K}}} |M_j|^2 K^2 dK \lambda \Omega_{\vec{K}} = \varepsilon_j^2(q, k) dk.$$

Здесь M_j — матричный элемент перехода электрона из связанного состояния j в состояние непрерывного спектра с волновым вектором \vec{K} ; $\Omega_{\vec{K}}$ — телесный угол в \vec{K} -пространстве; $q = Q/p_0(Z/n)$, $k = K/p_0(Z/n)$, $p_0 = \mu e^2/\hbar$. Выражения для $\varepsilon_j^2(q, k)$ при $j = 2s, 2p, L$:

$$\varepsilon_{2s}^2(q, k) = \frac{2^{11} q^2 k \exp \left\{ -\frac{4}{k} \operatorname{arctg} \frac{2k}{q^2 - k^2 + 1} \right\}}{3(1 - e^{-4\pi/k}) [(q^2 - k^2 + 1)^2 + 4k^2]^5} \times$$

$$\times \left[3q^{10} - (11k^2 + 32)q^8 + (14k^4 + 72k^2 + 82)q^6 - (6k^6 + 40k^4 + 62k^2 - \right.$$

$$\left. - 20)q^4 - \left(k^8 + 8k^6 + \frac{82}{5}k^4 - \frac{47}{5} \right)q^2 + (k^{10} + 8k^8 + 22k^6 + 28k^4 + 17k^2 + 4) \right],$$

$$\varepsilon_{2p}^2(q, k) = \frac{2^{11} q^2 k \exp \left\{ -\frac{4}{k} \operatorname{arctg} \frac{2k}{q^2 - k^2 + 1} \right\}}{3(1 - e^{-4\pi/k}) [(q^2 - k^2 + 1)^2 + 4k^2]^5} \times$$

$$\times \left[9q^8 - (12k^2 + 12)q^6 - (2k^4 + 12k^2 - 38)q^4 + \left(4k^6 + \frac{452}{15}k^4 + \frac{164}{3}k^2 + \right. \right.$$

$$\left. + \frac{428}{15} \right)q^2 + \left(k^8 + \frac{20}{3}k^6 + 14k^4 + 12k^2 + \frac{11}{3} \right) \right],$$

$$\varepsilon_L^2(q, k) = \frac{2^9 q^2 k \exp \left\{ -\frac{4}{k} \operatorname{arctg} \frac{2k}{q^2 - k^2 + 1} \right\}}{3(1 - e^{-4\pi/k}) [(q^2 - k^2 + 1)^2 + 4k^2]^4} \times$$

$$\times [3q^6 - (5k^2 + 11)q^4 + (k^4 + 18k^2 + 65)q^2 + (k^6 + 9k^4 + 23k^2 + 15)].$$

ЛИТЕРАТУРА

1. Дмитриев И. С., Жилейкин Я. М., Николаев В. С. ЖЭТФ, **49**, 50, 1965.
2. Сенашенко В. С., Николаев В. С., Шафер В. Ю., Дмитриев И. С. «Вестн. Моск. ун-та», физ., астроном., **11**, № 2, 136, 1970.
3. Khandelwal G. S., Merzbacher E. Phys. Rev., **151**, 12, 1966.
4. Swan P. Proc. Phys. Soc., **A68**, 1157, 1955.
5. Senashenko V. S., Nikolaev V. S., Shafer V. Yu. Phys. Lett., **31A**, 565, 1970.

6. Bates D. R., Griffing G. W. Proc. Phys. Soc., **A66**, 961, 1953; **A67**, 663, 1954; **A68**, 90, 1955.
7. Boyd T. J. M., Moiseiwitsch B. L., Stewart A. L. Proc. Phys. Soc., **A70**, 110, 1957.
8. Bates D. R., Williams A. Proc. Phys. Soc., **A70**, 306, 1957.
9. Rudge M. R. H. Rev. Mod. Phys., **40**, 564, 1968.
10. Ландау Л. Д., Лифшиц Е. М. Квантовая механика, ч. 1, гл. XV. ГИТЛ, 1948.
11. Bethe H. A. Ann. d. Phys., **5**, 325, 1930.
12. Slater J. S. Phys. Rev., **36**, 57, 1930.
13. Хартри Д. Расчеты атомных структур. ИЛ, 1951.
14. Brandus L. J. Phys., **B2**, 137, 1969.
15. Дмитриев И. С., Николаев В. С., Фатеева Л. Н., Теплова Я. А. ЖЭТФ, **42**, 16, 1962; **43**, 361, 1962.
16. Николаев В. С. «Успехи физических наук», **85**, 679, 1965.

Поступила в редакцию
10.8 1971 г.

НИИЯФ

Примечание. После того как данная статья была сдана в редакцию нам стали известны новые теоретические и экспериментальные данные о сечениях потери электрона метастабильными атомами водорода в водороде и гелии (Bell K. L., Kingston A. E., J. Phys., **B4**, 162, 1971; Gilbody H. W., Browning R., Reynolds R., Riddell G. I. J. Phys., **B4**, 94, 1971. Сравнение их с результатами настоящей работы дает возможность оценить точность ряда используемых нами приближений. Этот вопрос рассматривается в дополнительном сообщении, которое будет опубликовано в ближайших номерах журнала.